

مقایسه فیلترهای گاوسی و وینر در حذف خطاهای داده‌های GRACE

محمدعلی شریفی^{۱*}، مهدی نجفی علمداری^۲ و الهه مختاری^۳

^۱سکریو مهندسی نقشه برداری-پردیس دانشکده‌های فنی دانشگاه تهران، ایران

^۲دانشکده مهندسی ریودزی و زئوماتیک-دانشگاه صنعتی خواجه نصیرالدین طوسی، تهران، ایران

^۳دانشجوی کارشناسی ارشد مهندسی نقشه‌برداری-ریودزی دانشگاه صنعتی خواجه نصیرالدین طوسی، تهران، ایران

(تاریخ دریافت: ۱۳۸۹/۶/۸، تاریخ پذیرش: ۱۳۹۰/۷/۶، دسترسی برخط: ۱۳۹۰/۱۲/۲۵)

چکیده

ماموریت ماهواره‌های دوقلوی جاذبی (Gravity Recover and Climate Experiment) از سال ۲۰۰۲، تغییرات زمانی میدان جاذبی زمین را در مقیاس جهانی زیر نظر گرفته است. GRACE سری زمانی مدل‌های جاذبی زمین را تا درجه و مرتبه ۱۲۰ تولید کرده است و از طریق بازیابی تغییرات میدان جاذبی زمین به هدف عمدۀ علمی خود یعنی اطلاعات جزئی در مورد تغییرات کلی ذخیره آب‌ها در مقیاس جهانی دست می‌یابد.

فیلتر کردن یا نرم کردن داده‌های GRACE کاری ضروری در جهت کاهش سهم مولفه‌های طول موج کوتاه میدان جاذبی زمین و در نتیجه دستیابی به سیگنال‌های قابل اعتماد جاذبی متغیر در زمان است. خطای داده‌های GRACE به سرعت با افزایش درجه هماهنگ‌های کروی افزایش یافته است و به شکل نوارهایی خطی که از شمال به جنوب کشیده شده‌اند، در نقشه‌های تغییرات جرم نشان داده می‌شوند.

عملگرها میانگین‌گیری به دو دسته عمدۀ قطعی و اتفاقی تقسیم می‌شوند. فیلترهای موجود در دسته اول، به شعاع میانگین‌گیری وابسته‌اند و نیازی به اطلاعاتی در مورد ساختار سیگنال و نوافه موجود در داده ندارند. در مقابل، عملگرها اتفاقی که به آنها فیلترهای بهینه نیز می‌گویند، از مجموعه اطلاعات اضافی (مانند ساختار سیگنال مطلوب، برآورده از نوافه موجود در داده و مانند آن) استفاده می‌کنند تا اینکه بهترین تخصیم در مورد نتکیک سیگنال و نوافه صورت گیرد.

در این مقاله عملگر میانگین‌گیری گاوسی از نوع فیلترهای قطعی و فیلتر بهینه وینر (Wiener) از نوع فیلترهای اتفاقی استفاده شده است. ضرایب وزن فیلتر گاوسی با استفاده از رابطه بازگشتی جکلی محاسبه می‌شود. فیلتر وینر بر مبنای اعمال شرط کمینه مجموع مربعات اختلاف‌های میان سیگنال‌های ورودی انتخابی و سیگنال‌های خروجی فیلتر شده منتظر طراحی شده است. ایجاد شرط کمینه مجموع مربعات نیاز به اطلاعاتی در مورد توان طیفی سیگنال‌های هماهنگ جاذبی انتخابی و نوافه موجود در آنها دارد که از متوسط درجه توان طیفی داده‌های GRACE قابل استخراج هستند. دیده می‌شود که توان طیفی سیگنال‌های جاذبی تقریباً مطابق تابع $b = 10^{-l}$ با افزایش درجه هماهنگ کروی l کاهش می‌یابند که در آن مقادیر $a = 0.4$ و $b = 1/3$ برای $l < 21$ و مقادیر $a = 0.5$ و $b = 1/5$ برای $l > 14$ ، با استفاده از سرشکنی کمترین مربعات از روی داده‌های GRACE برآورده شده‌اند. $b = 10^{-l}$ را قانون دوم کائولا می‌نامند که به طور تجربی از ضرایب تغییرات ضرایب هماهنگ کروی در طول زمان‌های مختلف به دست آمده است. توان طیفی نوافه‌ها در مقیاس لگاریتمی با افزایش درجه l به صورت خطی افزایش می‌یابد. نشان داده شده که فیلتر بهینه وینر، فیلتر پایین‌گذری است که به طور کلی به فیلتر گاوسی شبیه است. بهویژه اختلاف میان کرنل (هسته) های فیلتر وینر با مدل کردن سیگنال با $b = 1/3$ و $b = 1/5$ و گاوسی به شعاع 4° درجه کوچک است.

همچنین، ضرایب وزن مربوط به این دو فیلتر روی ۵۵ ماه از داده‌های ماهیانه جاذبی GRACE اعمال شده و تغییرات کلی ذخیره آب در منطقه ایران برآورده شده است. نتایج حاصل با تغییرات کلی ذخیره آب به دست آمده از مدل هیدرولوژیکی GLDAS (Global Land Data Assimilation System) یعنی تغییرات پوشش برف به علاوه رطوبت خاک به همراه تغییرات سطح

*Corresponding author:

sharifi@ut.ac.ir

*نگارنده رابط:

آب‌های زیرزمینی حاصل از داده‌های چاه‌های پیزومتری در سطح ایران، مقایسه شده است. روش نشده است که فیلتر بهینه وینر در مقایسه با فیلتر گاووسی، نتایج را بهبود نداده است. البته همان‌طور که قبلاً نیز اشاره شد، یکی از مزایای روش وینر نیاز نداشتن به تعریف شاعع میانگین‌گیری و تعیینتابع گذر فیلتر براساس اطلاعات حاصل از اندازه‌گیری است.

واژه‌های کلیدی: میدان جاذبه، GRACE، فیلتر گیری، تغییرات کلی ذخیره آب

A comparison of Gaussian and Wiener filters to suppress GRACE data errors

Mohammad Ali Sharifi^{1*}, Mehdi Najafi Alamdar² and Elahe Mokhtari²

¹Department of Surveying and Geometrics engineering, University College of Engineering University of Tehran, Iran

²Faculty of Geodesy and Geomatics engineering, K.N.Toosi University of Technology, Tehran, Iran

(Received: 30 August 2010, accepted: 28 September 2011, available online: 15 March 2012)

Summary

The Gravity Recovery and Climate Experiment (GRACE) twin-satellite gravimetry mission has been monitoring time-varying changes of the Earth's gravitational field on a near-global scale since 2002. GRACE has been producing monthly time series of Earth gravity models up to a degree and order of 120. Its major scientific objective is to obtain detailed information on global water storage changes via the recovery of gravity changes.

Filtering or smoothing of GRACE data is necessary to reduce the contribution of noisy short wavelength components of the geopotential models and, as a consequence, to obtain reliable estimates of time-varying gravity signals. Errors of GRACE data increase rapidly with the spherical harmonic degree and manifest themselves in maps of surface mass variability as long, linear features, generally oriented in north to south stripes.

The averaging operators or filters implemented on the GRACE data can be divided into two main categories: deterministic or stochastic. Deterministic filters are based on properly choosing an optimal averaging radius which leads to an optimal tradeoff between noise reduction and spatial resolution. In contrast, stochastic operators, or the so-called optimal filters, rely on the principal that external knowledge of the problem (such as desired signal structure and solution error estimates) can be used to set up the filter.

This study uses Gaussian averaging and Wiener optimal filters as examples of deterministic and stochastic operators, respectively. The Gaussian filter weighting coefficients can be computed by Jekeli's recursion formula. Wiener optimal filtering is designed based on the minimum sum of squares of differences between the desired and corresponding filtered signals. It uses the power spectra information of the desired gravitational signal and the observation noise which is inferred from the averaged GRACE degree power spectrum. It was found that the power of signal decreases with increasing harmonic degree l with approximately $10^a/l^{-b}$, where $a=0.4$ and $b=1.3$ for $l < 21$ and $a=0.5$ and $b=1.5$ for $l < 14$ are estimated by a least squares adjustment of GRACE data. The degree power of the noise increases in the logarithmic scale, linearly with the increasing l . We show that the Wiener optimal filter is a low-pass filter; that is, in general, it functions similarly to a Gaussian filter.

Moreover, these two filter coefficients have been applied to 55 monthly GRACE gravity models for the estimation of the monthly anomalies of total water storage over Iran. The results were compared with the output of the Global Land Data Assimilation

System (GLDAS) hydrological model (snow cover plus soil moisture variations) and groundwater variations from borehole pizometer data for the estimation of monthly total water storage variations over Iran. It is shown that Wiener optimal filtering outcomes are nearly identical to those of Gaussian averaging. However, designing the optimal Wiener filter based on the observation is the main advantage of the Wiener filter over the Gaussian one.

Key words: Gravitational field, GRACE, filtering, total water storage variations

وارد بر ماهواره، همچون کشش جو، فشار ناشی از تابش‌های خورشیدی و مانند آن را اندازه‌گیری کنند. بازتاب کننده لیزر نصب شده در هر دو ماهواره امکان واسنجی (کالیبراسیون) خارجی گیرنده‌های GPS را فراهم کرده است و علاوه‌بر آن، با ترکیب مشاهدات حاصل از فاصله‌یابی لیزری از زمین با مشاهدات GPS، تعیین دقیق تر مدار ماهواره را امکان پذیر می‌سازد (گارسیا، ۲۰۰۲). GRACE برآوردی از میدان جاذبه زمین را به صورت منظم و ماهیانه به شکل مدل‌های ژئوپتانسیلی تا درجه و مرتبه ۱۲۰ از ضرایب هماهنگ کروی در مقیاس‌های چندصد کیلومتر در اختیار قرار می‌دهد. بنابراین، فرایندی را که موجب جابه‌جایی جرم در این مقیاس زمانی و مکانی می‌شود (مانند تغییرات مربوط به فشارهای جویی، فشارهای کف اقیانوسی و میزان ذخیره آب‌های سطحی) را می‌توان با داده‌های GRACE، زیر نظر گرفت (وار، ۲۰۰۶). به عبارتی دیگر، GRACE میزان تغییرات کلی ذخیره آب (Total Water Storage) TWS یا مجموع رطوبت موجود در لایه ریشه‌ای خاک، آب موجود در پوشش برف و تغییرات سطح آب‌های زیرزمینی است، برآورد می‌کند. برین ترتیب می‌تواند در ارزیابی کردن و بهبود دادن مولفه‌های هیدرولوژیکی موردنیاز در مدل‌های آب‌وهواشناسی در مقیاس‌های جهانی و حتی منطقه‌ای، مورد استفاده قرار گیرد (دل‌آرام، ۲۰۰۷). تا کنون، مطالعات بسیاری در بررسی قابلیت GRACE در نشان دادن تغییرات کلی ذخیره آب صورت گرفته است. وار و مولینار (۱۹۹۸) تغییرات میدان جاذبه

۱ مقدمه

طرح Gravity Recovery And Climate Experiment یا به اختصار GRACE، یکی از ماموریت‌های ماهواره‌ای است که به منظور تعیین میدان جاذبی زمین صورت گرفته است، با کار مشترک میان ناسا (National Aeronautics and Space Administration) و DLR (Deutsches Zentrum für Luft- und Raumfahrt) عملی شده و در ۱۷ مارچ ۲۰۰۲ از ایستگاه پلستیک (Plesetsk) در روسیه به فضا پرتاب شده است. هدف اولیه از این ماموریت، در یک دوره زمانی پنج ساله، به دست آوردن مدل‌های جهانی از پارامترهای متوسط و متغیر در زمان (Mean and time variables components) میدان جاذبی زمین است؛ چنین مدل‌هایی می‌توانند ورودی موردنیاز برای مدل‌های علمی چون: اقیانوس‌شناسی، آب‌شناسی، یخ‌شناسی و پوسته جامد زمین را تأمین کنند (گارسیا، ۲۰۰۲). هر دو ماهواره GRACE در یک مدار قطبی با زاویه میل ۸۹ درجه و تقریباً کروی در ارتفاع ۳۰۰–۵۰۰ کیلومتری از سطح زمین و به فاصله 220 ± 50 کیلومتر از یکدیگر در حال پرواز هستند (ایارت، ۲۰۰۵). تغییرات فاصله نسبی میان دو ماهواره با دقت یک میکرومتر بر ثانیه به صورت پیوسته با سامانه KBR (K-Band Ranging System) تعییه شده در ماهواره‌ها، اندازه‌گیری می‌شود. در ضمن، هر کدام از ماهواره‌ها دارای گیرنده GPS (Global Positioning System) هستند که امکان تعیین دقیق مدار را فراهم می‌سازند و همچنین، مجهز به یک شتاب‌سنج با دقت 10^{-10} متر بر مجدوثر ثانیه‌اند تا شتاب‌های غیر جاذبی

جغرافیایی از شمال به جنوب کشیده شده‌اند. این نوارها با توجه به ساختار قطبی این ماهواره که با زاویه میل ۸۹ درجه در حال گردش به دور زمین هستند، ایجاد می‌شوند (وار، ۲۰۰۶). به همین دلیل حجم زیادی از داده‌ها در مسیر پرواز شمالی-جنوبی ماهواره‌ها تولید، و بهنوعی موجب ایجاد وابستگی‌های مکانی در این راستا می‌شود (اوانگه و همکاران، ۲۰۰۸). بهویژه خطاهای موجود در داده‌های GRACE، با افزایش درجه و مرتبه، به سرعت افزایش می‌یابند و استفاده مستقیم از آنها در مناطق کوچک‌تر و در کاربردهایی مثل زیر نظر گرفتن چرخه هیدرولوژیکی که به دقت بیشتری در برآورد کردن سیگنال‌های موردنظر نیاز دارد، منجر به تولید شدن نتایج غیرواقعی از تغییرات کلی سطح آب در منطقه مورد بررسی می‌شود. به همین دلیل، ضرورت استفاده از فیلترها با هدف کاهش سهم ضرایب با درجات بالاتر در محاسبات که خود موجب کاهش خطاهای مدل و رسیدن به نتایج دقیق‌تر می‌شود، از سوی جکلی (۱۹۸۱) مطرح شد.

در این مقاله نخست، ضرورت استفاده از فیلترها روی مدل‌های ماهیانه جاذبی GRACE، بیان، و سپس چگونگی بهدست آوردن وزن‌های فیلتر گاوسی و چگونگی طراحی فیلتر بهینه وینر و بهدست آوردن درجه هماهنگی (هارمونیک) طیفی جداکننده سیگنال از نویه موردنیاز در این فیلترگیری از روی داده‌های GRACE، توضیح داده می‌شود. در ادامه توضیح کوتاهی نیز در مورد کمیت و کیفیت داده‌های چاههای پیزومتری بیان خواهد شد. سرانجام ضرایب وزن این دو فیلتر، روی ماه پنجم از سال ۱۳۸۷ اعمال و چگونگی کاهش یافتن نوارها بررسی می‌شود. سپس، متوسط تغییرات کلی سطح آب از سال ۱۳۸۲ تا ۱۳۸۷ در منطقه ایران حساب می‌شود. همچنین، برای ارزیابی قابلیت GRACE در نشان دادن تغییرات ذخیره آب در ایران، مشاهدات حاصل از ترکیب مدل

زمین را با استفاده از خروجی مدل‌هایی چون هیدرولوژی، اقیانوس‌نگاری و جوی برآورد کرده و با استفاده از مشاهدات شبیه‌سازی شده نشان دادند که GRACE می‌تواند میزان تغییرات ضخامت لایه آب (Water thickness) را با دقتی حدود ۲ میلی‌متر و تغییرات فشارهای کف اقیانوسی را با دقتی بهتر از ۰/۱ میلی‌بار فراهم کند. اشمیت و همکاران (۲۰۰۶)، داده‌های ماهیانه جاذبی GRACE را در برآورد کردن میزان تغییرات کلی سطح آب در مقیاس قاره‌ای بررسی کرده‌اند. بعد از آن تپلی و همکاران (۲۰۰۴) پس از بررسی داده‌های ماهیانه GRACE، نتایج اولیه از قابلیت این ماهواره‌ها در حسن کردن سیگنال‌های هیدرولوژیکی را عرضه کردند که در آن به دست آوردن تغییرات کلی ذخیره آب با استفاده از این داده‌های ماهیانه تا درجه و مرتبه ۷۰، با دقتی در حد ۲ سانتی‌متر را نشان می‌دهد. همچنین، تحقیقات وار و همکاران (۲۰۰۴) دقتی در حد ۱/۵ سانتی‌متر را برای تغییرات ماهیانه ضخامت لایه آب روی خشکی‌ها و اقیانوس‌ها، بیان می‌کند. در همین راستا سونسن و همکاران (۲۰۰۶) مقایسه‌ای میان میزان تغییرات کلی ذخیره آب حاصل از داده‌های GRACE با مشاهدات زمینی، در منطقه‌ای به مساحت ۲۸۰ هزار کیلومترمربع به انجام رسانده‌اند. همچنین، ایکساگونگ و همکاران (۲۰۰۶) با داده‌های GRACE به بررسی تغییرات فصلی ذخیره آب در رودخانه یانگتze (Yangtze) در چین پرداخته‌اند. از دیگر تحقیقات می‌توان به اوانگه و همکاران (۲۰۰۸) و (۲۰۰۹) اشاره کرد که کاربرد GRACE را در بررسی میزان تغییرات کلی سطح آب و خطر بروز خشکسالی را در منطقه استرالیا بررسی کرده‌اند.

علاوه بر خطاهای سامانمند و تصادفی موجود در مدل‌های ماهیانه جاذبی GRACE، یکی از بزرگ‌ترین مشکلات موجود در مدل‌های ماهیانه جاذبی GRACE وجود نوارهایی (Strips) است که روی نقشه‌های

(اوانگه و همکاران، ۲۰۰۸). به همین دلیل، ضرورت استفاده از فیلترها با هدف کاهش سهم ضرایب با درجات بالاتر در محاسبات که خود موجب کاهش خطاهای مدل و رسیدن به نتایج دقیق تر می‌شود، ازسوی جکلی (۱۹۸۱) مطرح شد. استفاده از فیلترها، متناظر با اضافه کردن ضرایب وزنی وابسته به درجه h_l در فضای بسالم است. برای نمونه، تغییرات کلی سطح آب نرم شده $\Delta\sigma$ با اضافه کردن ضرایب وزن h_l به صورت زیر نوشته می‌شود (وار، ۲۰۰۶):

$$\Delta\sigma(\theta, \lambda) = \frac{R\rho_{ave}}{3} \sum_{l,m} \frac{2l+1}{1+k_l} h_l \bar{P}_{lm}(\cos\theta) (\Delta C_{lm} \cos m\lambda + \Delta S_{lm} \sin m\lambda), \quad (1)$$

که در آن، (λ, θ) به ترتیب متمم عرض جغرافیایی و طول جغرافیایی نقطه محاسبه، R شعاع کره زمین برحسب متر، ρ_{ave} متوسط چگالی زمین برابر با ۵۵۱۷ برحسب کیلو گرم بر متر مکعب، k_l اعداد لاو از درجه l (وار و مولینار، ۱۹۹۸)، P_{lm} توابع وابسته لثاندر نرمال شده از درجه l و مرتبه m و ΔC_{lm} ، ΔS_{lm} ضرایب استوکس باقیمانده در این مقاله از کم کردن مدل‌های ماهیانه جاذبی از متوسط GRACE (میدان مرجع GRACE) که از متوسط گیری از ۹۱ ماه از مدل‌های جاذبی (۴۷ ماه از Dadehهای موجود در پوشش Center for Space CSR) و ۴۴ ماه از داده‌های موجود در پوشش GFZ Research (Research GeoForschungsZentrum) در بازه زمانی ۲۰۰۲ تا ۲۰۰۶ تولید شده است.

چنانچه از ضرایب وزن فیلتر h_l در رابطه (۱) استفاده نشود و از ضرایب هماهنگ کروی حاصل از GRACE به طور مستقیم در به دست آوردن تغییرات کلی ذخیره آب در منطقه ایران استفاده شود، نتایج حاصل در شکل ۱، نقشه‌هایی با حضور نوارهای شمالی-جنوبی است که تغییرات کلی ذخیره آب را میان ۸۰۰۰ - تا ۸۰۰۰

جهانی هیدرولوژی GLDAS یعنی تغییرات پوشش برف به علاوه رطوبت خاک به همراه تغییرات سطح آب‌های زیرزمینی حاصل از داده‌های چاههای پیزومتری در سطح ایران و در همان بازه زمانی، با نتایج برآمده از GRACE مقایسه خواهد شد.

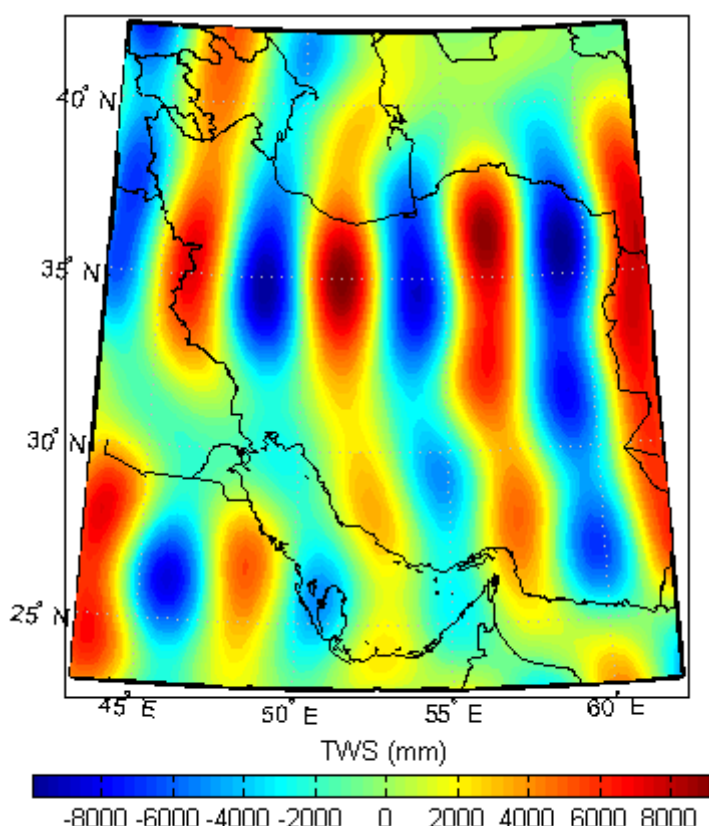
۲ ضرورت استفاده از فیلترها روی مدل‌های ماهیانه جاذبی GRACE

همواره استفاده از مدل‌های ماهیانه جاذبی GRACE با محدودیت‌هایی همراه است که از آن جمله می‌توان به خطاهای تولید شده به سبب فن اندازه‌گیری با ماهواره‌های GRACE، محدودیت در قدرت تفکیک مکانی ماهواره، خطاهای ناشی از چگونگی پردازش مشاهدات GRACE، درست مدل نشدن نیروهای غیر جاذبی وارد بر ماهواره و وجود سایر خطاهای سامانمند به‌غیر از خطاهای تصادفی موجود در داده‌های GRACE اشاره کرد که همگی دست به دست هم می‌دهند تا به‌ویژه ضرایب مراتب و درجات بالاتر ضعیف تعیین شوند؛ به عبارتی می‌توان گفت که با افزایش درجه و مرتبه، خطاهای موجود در داده‌های GRACE، به سرعت افزایش می‌یابند و استفاده مستقیم از آنها مخصوصاً در مناطق کوچک‌تر و در کاربردهایی مثل زیر نظر گرفتن چرخه هیدرولوژیکی که به دقت بیشتری در برآورد سیگال‌های موردنظر، نیاز دارد، ما را با مشکلاتی روبرو می‌کند. با این حال شاید بتوان یکی از بزرگ‌ترین مشکلات موجود در مدل‌های ماهیانه جاذبی GRACE را وجود نوارهایی دانست که روی نقشه‌های جغرافیایی از شمال به جنوب کشیده شده‌اند. علت وجود نوارها به ساختار قطبی این ماهواره که با زاویه میل ۸۹ درجه در حال گردش به دور زمین است، مربوط می‌شود (وار، ۲۰۰۶). به همین دلیل حجم زیادی از داده‌ها در مسیر پرواز شمالی-جنوبی ماهواره‌ها تولید، و به‌نوعی موجب ایجاد وابستگی‌های مکانی در این راستا می‌شود

فیلترهای بهینه مشهورند و با داشتن مجموعه‌ای از اطلاعات اضافی مانند استفاده از مدل‌های ژئوفیزیکی، میزان خطای موجود در سیگنال را مدنظر قرار می‌دهند، تا اینکه بهترین تصمیم در مورد اینکه چه چیز سیگنال و چه چیز نویه است، صورت گیرد (کلیس و همکاران، ۲۰۰۸). فیلترهای دسته اول به دلیل ساده بودنشان، بیشتر از فیلترهای دسته دوم مورد استفاده قرار گرفته‌اند. بنابراین، در این مقاله نخست فیلتر گاوی در حکم یکی از فیلترهای دسته اول شرح داده می‌شود و سپس چگونگی طراحی و به دست آوردن وزن‌های موردنظر برای یکی از فیلترهای تصادفی به نام فیلتر بهینه وینر، بیان می‌شود. بعد از آن نتایج حاصل از این دو فیلتر، مورد بحث و بررسی قرار می‌گیرد.

میلی‌متر نشان می‌دهد. همان‌طور که بعداً نشان داده خواهد شد، این نتایج در مقایسه با نتایج حاصل از داده‌های مدل‌های هیدرولوژی به علاوه چاه‌های پیزومتری، غیر واقعی است.

به‌طور کلی، فیلترهای مورد استفاده روی داده‌های ماهیانه GRACE را به دو دسته تقسیم‌بندی می‌کنند. دسته اول فیلترهایی هستند که به میانگین‌گیری‌های قطعی (Deterministic) مشهورند و کیفیت مناسب آنها به مقدار شعاع میانگین‌گیری در آنها که به طور تجربی تعیین می‌شود و کوشش دارد از طریق کاهش قدرت تفکیک مکانی در داده‌ها از یکسو و افزایش قدرت تفکیک مکانی با برآورد و تصحیح خطای داده‌ها از سویی دیگر، نویفه‌های موجود در داده را کاهش دهد، بستگی دارد. اما دسته دوم که به فیلترهای تصادفی (Stochastic) و یا



شکل ۱. تغییرات کلی سطح آب در ایران حاصل از ضرایب خام GRACE برای ماه پنجم از سال ۱۳۸۷.

این فیلتر در فضای مکانی، میانگین‌گیری وزن‌داری است که وزن‌های متفاوتی به نقاط موجود در همسایگی نقطه محاسبه با توجه به فاصله‌شان، اختصاص می‌دهد. همواره با کاهش شعاع میانگین‌گیری، خطاهای موجود در داده‌ها افزایش می‌یابد اما به کار بردن شعاع‌های میانگین‌گیری بزرگ‌تر نیز منجر به از دست دادن قسمت زیادی از سیگنال‌های جاذبی، به ویژه در مناطق با مساحت‌های کوچک‌تر می‌شود (وار، ۲۰۰۶). بنابراین، یک شعاع میانگین‌گیری مناسب که در بیشتر مواقع به صورت تجربی انتخاب می‌شود، در جهت از بین بردن خطاهای و حفظ شدن قدرت تفکیک مکانی بسیار اهمیت دارد. پاسخ فیلتر مربوط به این فیلتر به شعاع ۴۵۶ کیلومتر، در دو فضای مکان و طیفی در شکل ۲ قرار داده شده است. همان‌طور که در شکل پیدا است، شکل هسته (پاسخ فیلتر) در هر دو فضای مکان و طیفی در شکل ۲ شبیه است. در این حالت، اگر r شعاع فیلتر باشد و $h(\psi)$ هسته موردنظر در فضای مکان باشد، مقدار هسته به ازای $\psi = r$ برابر با نصف مقدار آن در مبدأ یعنی $\psi = 0$ است.

۳ فیلتر گاووسی

ضرایب وزن فیلتر گاووسی h را جکلی (۱۹۸۱) با یک رابطه بازگشتی به صورت زیر به دست آورد (وار، ۲۰۰۶):

$$h_0 = 1, \quad h_1 = \left(\frac{1+e^{-2b}}{1-e^{-2b}} - \frac{1}{b} \right), \\ , \dots, \quad h_{l+1} = -\frac{2l+1}{b} h_l + h_{l-1}$$

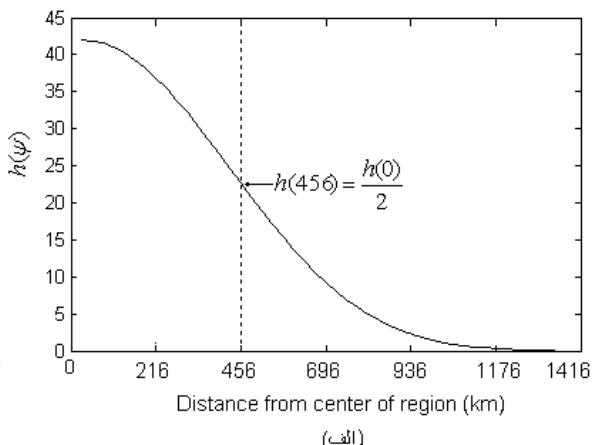
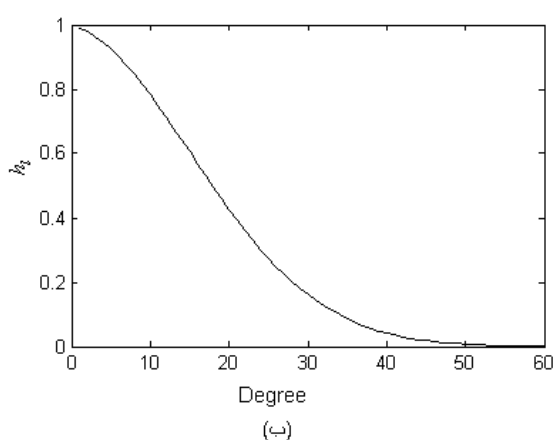
استفاده از ضرایب بالا، متناظر با انتخاب تابع وزن $h(\psi)$ در فضای مکانی به صورت زیر است (وار، ۲۰۰۶):

$$h(\psi) = \frac{b \cdot \exp(-b(1 - \cos \psi))}{1 - e^{-2b}}, \\ \text{که در آن، } b = \frac{\ln 2}{\left(1 - \cos\left(\frac{r}{a}\right)\right)}$$

شعاع میانگین‌گیری و

شعاع استوایی زمین است.

استفاده از این نوع فیلتر در فضای طیفی که فقط به درجه هماهنگ‌های کروی l بستگی دارد، در فضای مکانی به شعاع میانگین‌گیری وابسته است. به عبارتی دیگر



شکل ۲. هسته میانگین‌گیری گاووسی به شعاع ۴۵۶ کیلومتر: (الف) فضای مکانی و (ب) فضای طیفی.

به لحاظ رابطه همامیختی (۴) در فضای مکانی، می‌توان رابطه زیر را بین طیف (دامنه) های تابع هماهنگ x ، y و h در فضای طیفی (بسامد) نوشت (ساسگن و همکاران، ۲۰۰۶):

$$y_{lm} = h_l x_{lm}, \quad (7)$$

۴-۴ طراحی فیلتر بهینه وینر
فیلتر بهینه وینر با توجه به شکل ۳، به گونه‌ای طراحی می‌شود که (ساسگن و همکاران، ۲۰۰۶):

۱. سیگنال خروجی حقیقی از فیلتر یعنی $(\Omega)y$ ، با اعمال شرط کمترین مربعات به سیگنال مطلوب یعنی $d(\Omega)$ را تقریب کند؛ یعنی تابع زیر کمینه شود

$$\begin{aligned} E^2 &= \int_{\Omega_0} |y(\Omega) - d(\Omega)|^2 d\Omega \\ &= \sum_{l=0}^{\infty} \sum_{m=-l}^l |y_{lm} - d_{lm}|^2 \rightarrow \min, \end{aligned} \quad (8)$$

که در آن، (θ, λ) و Ω_0 محدوده انتگرال‌گیری روی کل کرده است.

سیگنال اندازه‌گیری شده $x(\Omega)$ برابر با مجموع سیگنال واقعی ($s(\Omega)$) و نوافه ($n(\Omega)$) موجود در آن است:

$$x(\Omega) = s(\Omega) + n(\Omega), \quad (9)$$

۲. $s(\Omega)$ و $n(\Omega)$ ناهمبسته‌اند، لذا، ضرب داخلی آنها

روی کل کرده، صفر است:

$$\int_{\Omega_0} s(\Omega) n(\Omega) d\Omega = \sum_{l=0}^{\infty} \sum_{m=-l}^l s_{lm} n_{lm}^* = 0, \quad (10)$$

۳. سیگنال خروجی بهنحوی برآورد می‌شود که $d(\Omega)$ همان سیگنال ورودی اصلی ($s(\Omega)$) و عاری از نوافه باشد:

$$d(\Omega) = s(\Omega), \quad (11)$$

تحت شرایط بالا، می‌توان رابطه (۸) را به شکل زیر باز نویسی کرد:

۴ فیلتر بهینه وینر

۱-۴ همامیخت روی کرده

سیگنال خروجی y با همامیخت تابع پاسخ فیلتر h با سیگنال ورودی اندازه‌گیری شده x روی کرده، در فضای مکان به صورت زیر نوشته می‌شود (وار، ۲۰۰۶):

$$\begin{aligned} y(\theta, \lambda) &= (h * x)(\theta, \lambda) \\ &= \int_0^{2\pi} \int_0^\pi h(\psi) x(\bar{\theta}, \bar{\lambda}) \sin \bar{\theta} d\bar{\theta} d\bar{\lambda}, \end{aligned} \quad (4)$$

که در آن، $\bar{\theta}, \bar{\lambda}$ به ترتیب متمم عرض جغرافیایی و طول جغرافیایی مربوط به نقطه انتگرال‌گیری، θ, λ مختصات نقطه محاسبه و ψ فاصله کروی میان این دو نقطه است. با فرض اینکه سیگنال‌های $x(\theta, \lambda)$ و $y(\theta, \lambda)$ توابعی مربعی-انتگرال پذیر روی کرده واحد باشند، می‌توان آنها را به صورت سری‌های عددی از هماهنگ‌های کروی $Y_{lm}(\theta, \lambda)$ از درجه l و مرتبه m نمایش داد (جکلی)، (۱۹۸۱):

$$\begin{bmatrix} x(\theta, \lambda) \\ y(\theta, \lambda) \end{bmatrix} = \sum_{l=0}^{\infty} \sum_{m=-l}^l \begin{bmatrix} x_{lm} \\ y_{lm} \end{bmatrix} Y_{lm}(\theta, \lambda), \quad (5)$$

که در آن، x_{lm} و y_{lm} ضرایب هماهنگ کروی و $Y_{lm}(\theta, \lambda) = P_{lm}(\cos \theta) \begin{cases} \cos m\lambda \\ \sin m\lambda \end{cases}$ است که در آن،

$P_{lm}(\cos \theta)$ را تابع وابسته لثاندر نرمال‌شده می‌گویند. بنابراین، تابع پاسخ فیلتر یعنی $h = h(\psi)$ به صورت زیر نوشته می‌شود (وار، ۲۰۰۶):

$$h(\psi) = \frac{1}{4\pi} \sum_{l=0}^{\infty} \sqrt{2l+1} h_l P_l(\cos \psi), \quad (6)$$

که در آن، h_l را طیف یا ضریب هماهنگ کروی مربوط به $h(\psi)$ و $P_l(\cos \psi)$ که همان چندجمله‌ای‌های معروف لثاندرند.

۳-۴ تعیین درجه توان طیفی تفکیک کننده سیگنال از نویه در داده‌های GRACE

تعیین نمودن ضرایب وزن فیلتر وینر بر طبق معادله (۱۴) نیاز به برآورده از درجه توان طیفی سیگنال جاذبی $\sigma_{s,l}^2$ درجه l و توان طیفی نویه موجود در آن $\sigma_{n,l}^2$ دارد. برای این برآورد از مقایسه داده‌های GRACE و اطلاعات موجود در مدل هیدرولوژی GLDAS به صورت زیراستفاده می‌شود (ساسگن و همکاران، ۲۰۰۶):

۱. متوسط درجه توان طیفی مدل‌های GRACE برای هماهنگ درجه l که $1 \leq l \leq 20$ است، به صورت زیر محاسبه می‌شود:

$$\langle \sigma_{GRACE,l}^2 \rangle = \frac{1}{N} \sum_{n=1}^N \sigma_{GRACE_{n,l}}^2, \quad (15)$$

که در آن، N تعداد مدل‌های به کار رفته در متوسط‌گیری است که در این مقاله برابر با ۹۱ است.

توان طیفی $\sigma_{GRACE_{n,l}}^2$ مدل‌های ماهیانه بر حسب ارتفاع ژئوئید متناظر با واحد میلی‌متر مربع از معادله زیر به دست می‌آید (کوچی، ۲۰۰۵):

$$\sigma_{GRACE_{n,l}}^2 = \left(\frac{GM \times 1000}{R\gamma} \right)^2 \sum_{m=0}^l (\Delta C_{lm}^2 + \Delta S_{lm}^2), \quad (16)$$

که در آن، GM حاصل‌ضرب جرم زمین در ثابت جهانی نیوتون بر حسب متر مکعب بر مجدور ثانیه، R شاعع کره زمین بر حسب متر، $\gamma = 9.81$ شتاب جاذبه نرمال بر حسب متر بر مجدور ثانیه، ΔC_{lm} و ΔS_{lm} اختلاف ضرایب هماهنگ کروی نرمالیزه میدان ماهیانه و میدان متوسط GRACE، هستند. همان‌طور که در شکل ۴ نشان داده شده است، متوسط توان‌های طیفی حاصل از GRACE درجه ۲۰، مانند توان‌های طیفی متوسط حاصل از مدل هیدرولوژی GLDAS، روند کاهشی از خود نشان می‌دهند (وار و همکاران، ۲۰۰۴). اما بعد از آن، به دلیل

$$E^2 = \sum_{l=0}^{\infty} \sum_{m=-l}^l |h_l x_{lm} - s_{lm}|^2, \quad (12)$$

و سپس، رابطه (۱۲) را به صورت زیر نوشت:

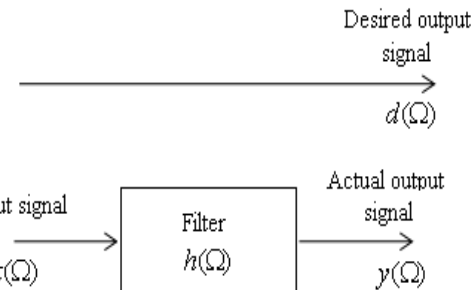
$$E^2 = \sum_{l=0}^{\infty} \left\{ \sigma_{s,l}^2 (1-h_l)^2 + \sigma_{n,l}^2 h_l^2 \right\}, \quad (13)$$

$$\text{که در آن، } \sigma_{s,l}^2 := \sum_{m=-l}^l |n_{lm}|^2 \text{ و } \sigma_{n,l}^2 := \sum_{m=-l}^l |s_{lm}|^2$$

(Degree-power spectrum) به ترتیب درجه توان طیفی سیگنال $(\Omega)^s$ و نویه $(\Omega)^n$ هستند. از مساوی صفر قرار دادن مشتق تابع E^2 نسبت به h_l معادلاتی تشکیل می‌شود که از حل آنها مقادیر بهینه برای مجھول‌های h_l که بر حسب آنها تابع E^2 کمینه خواهد شد، به دست می‌آید.

$$h_l = \frac{\sigma_{s,l}^2}{\sigma_{s,l}^2 + \sigma_{n,l}^2}, \quad l = 0, 1, \dots, \quad (14)$$

از رابطه (۱۴) به روشنی بر می‌آید که وقتی نویه قابل صرف نظر کردن باشد، وزن‌ها یا به عبارتی h_l ها به واحد نزدیک شده و در صورتی که نویه شدید باشد، به صفر نزدیک می‌شود؛ بنابراین، این رابطه، وزن‌هایی بهینه میان این دو مقدار را تولید می‌کند. فیلتر وینر طراحی شده در این مقاله، مانند فیلتر گاوسی فیلتری یک‌رونده (ایزوتropیک) است و فقط به درجه توانی سیگنال و نویه مدل وابستگی دارد.



شکل ۳. فیلتر بهینه وینر روی کره.

(خط مشکی در شکل ۴ نشان دهنده پخش درجه توان طیفی برای $b = 1/3$). همچنین، برای اینکه ضرایب را که تحت تاثیر پدیده تشید (Resonance) از اغتشاشات مداری ماهواره تعیین شده‌اند، از سرشکنی جدا شوند و همچنین، نشان دادن حساسیت این فیلتر به پارامتر b ، بار دیگر سرشکنی کمترین مربعات برای $l < 14$ نیز انجام شده و مقادیر $a = 0/5$ و $b = 1/5$ برآورده شده است (خط مشکی در شکل ۴ نشان دهنده پخش درجه توان طیفی برای $b = 1/5$).

۳. با توجه به روند افزایشی و خطی که متوسط توان‌های طیفی مربوط به خطاهای GRACE، از خود نشان می‌دهند، رفتار خطاهای موجود در متوسط درجه توان طیفی‌های حاصل از GRACE، از درجه 29 به بعد، با یک تابع خطی در مقیاس لگاریتمی به صورت زیر فرموله می‌شود:

$$\log \sigma_{n,l}^2 = c + d \cdot l, \quad (19)$$

که در آن، مقادیر $c = -2/40$ و $d = 0/05$ ، با استفاده از سرشکنی کمترین مربعات برای متوسط توان‌های طیفی مربوط به درجات $l > 29$ ، برآورده شده‌اند.

به این ترتیب، با برآورد نمودن رفتار نوافه و سیگنال، می‌توان σ_n^2 درجه توان طیفی سیگنال و $\sigma_{n,l}^2$ درجه توان طیفی نوافه مورد نیاز برای تولید نمودن ضرایب وزن فیلتر بهینه وینر دست یافت. در این مقاله وزن‌های مربوط به محدوده $l < 21$ و $14 < l < 1$ که محدوده‌ای عاری از خطای باشند، یک در نظر گرفته می‌شود و برای درجات دیگر با توجه به مقادیر برآورده شده برای a و b به برآورده از توان طیفی سیگنال و پارامترهای به دست آمده برای c و d می‌توان به برآورده از توان طیفی نوافه دست یافت.

خطاهای موجود در مشاهدات GRACE، روند افزایشی در آنها آغاز می‌شود؛ این موضوع کمک می‌کند تا مزدی درجه هماهنگ جدا کننده ضرایب بدون خطا (سیگنال) و ضرایب خطادار (نوافه) مشخص شود. از شکل ۴ پیدا است درجات هماهنگ در محدوده $21 < l < 29$ عاری از خطا بوده و بیشتر سیگنال هستند (Ω) و ضرایب عاقع در محدوده $l > 29$ محدوده‌ای است که در آن جا تسلط نوافه (Ω) n بیشتر از سیگنال (Ω) است. ضرایب عاقع در محدوده $l < 20$ را می‌توان گفت نوافه یا سیگنال باشند.

۲. کائولا به صورت تجربی، نشان داده است که با افزایش درجه هماهنگ l ، دامنه مولفه هماهنگ ارتفاع ژئوئید (A_l) با فرمول زیر کاهش می‌یابد (ونیچک و کراوسکی، ۱۹۸۶):

$$A_l \equiv \frac{R}{(l^2 10^5)}, \quad (17)$$

بنابراین، با در نظر گرفتن این قانون می‌توان درجه توان‌های طیفی متوسط را به صورت تابعی متناسب با عکس درجه l به صورت زیر فرموله کرد:

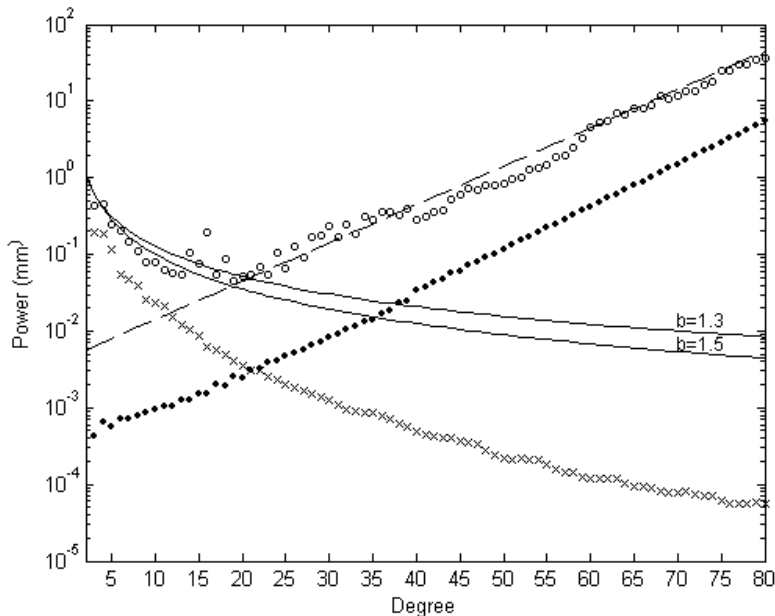
$$\langle \sigma_{GRACE,l}^2 \rangle = \frac{10^a}{l^b}, \quad (18)$$

رابطه (۱۸) را قانون دوم کائولا می‌نامند که به طور تجربی از بررسی تغییرات ضرایب هماهنگ میدان پتانسیل بر حسب بسامد آنها و در زمان‌های مختلف به دست آمده است. با اعمال شرط کمینه مربعات اختلافات در محدوده $l < 21$ روی ضرایب پتانسیل GRACE مقادیر $a = 0/4$ و $b = 1/3$ برای پارامترهای مجھول a و b به دست آمده اند. سپس، با استفاده از مدل بهینه به دست آمده برای قانون دوم کائولا ضرایب هماهنگ میدان جاذبه برای محدوده $l > 20$ ، با استفاده از روش برونیابی برآورده شوند

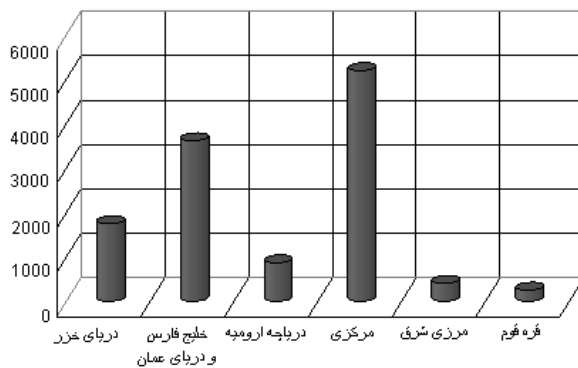
یک به نام‌های: ۱- دریای خزر-۲- خلیج فارس و دریای عمان-۳- دریاچه ارومیه-۴- مرکزی-۵- مرزی شرق و-۶- قره‌قوم تقسیم شده است. تعداد چاه‌های مشاهده‌ای در هر حوضه مربوط به سال ۸۶-۸۵ در شکل ۵ دیده می‌شود. تعداد این چاه‌ها در بیشترین تعداد به نزدیک ۶۰۰۰ حلقه در حوضه مرکزی و در کمترین تعداد یعنی نزدیک به ۱۰۰۰ حلقه چاه در حوضه قره‌قوم می‌رسد (همتی، ۱۳۸۷).

۵ مشاهده سطح آب‌های زیرزمینی در چاه‌های پیزومتری

پیش از وارد شدن به بخش ارزیابی نتایج، بهتر است که کمی در مورد کمیت و کیفیت داده‌های چاه‌های پیزومتری در ایران توضیحاتی داده شود. ایران براساس ریخت‌شناسی زمین و نحوه حرکت نهایی جریان‌های سطحی آب روی آن، به شش حوضه آبریز اصلی درجه



شکل ۴. نمودارهای توزیع توان‌های طیفی مرجع GRACE بر حسب درجه هماهنگ طیف و مقایسه آن با میدان مرجع نظری محاسبه شده از مدل هیدرولوژی GLDAS: دایره‌های توخالی متوسط درجه توان‌های طیفی GRACE، نمودار ضربدر متوسط درجه توان‌های طیفی مدل هیدرولوژی GLDAS (وار و همکاران، ۲۰۰۴)، دایره‌های تپیر متوسط درجه توان‌های طیفی مربوط به خطاهای GRACE. خطوط مشکی سیگنال‌های جاذبی با در نظر گرفتن $b = 1/3$ و $d = 1/5$ و خط‌پیوین مشکی: نویه موجود در سیگنال‌های جاذبی با در نظر گرفتن $c = -2/40$ و $c = -0.05$.



شکل ۵. تعداد چاه‌های مشاهده‌ای به تفکیک حوضه‌های آبریز اصلی در سال آبی ۸۶-۸۵ (همتی، ۱۳۸۷).

همین شکل قرار داده شده است. به طور کلی، فیلتر بهینه وینر، فیلتر پایین گذرنی است که شباهت زیادی به فیلتر گاووسی دارد. هسته فیلتر گاووسی به شعاع ۴ درجه به هر دو هسته فیلتر بهینه وینر با $b = 1/3$ و $b = 1/5$ شباهت دارد. همچنین، هسته فیلتر گاووسی به شعاع ۴/۵ درجه تقریباً به هسته فیلتر بهینه وینر با $b = 1/5$ نزدیکتر است.

با قرار دادن وزن‌های به دست آمده در رابطه (۱)، میزان تغییرات ذخیره کلی آب نرم شده مربوط به ماه پنجم از سال ۱۳۸۷ بر می‌آید. چگونگی کاهش یافتن نوارهای موجود به دلیل خطاهای موجود در ضرایب مراتب بالا GRACE پس از اعمال هر فیلتر در شکل ۷ دیده می‌شود. وزن‌های مربوط به فیلتر گاووسی به شعاع‌های ۴ و ۴/۵ درجه و فیلتر بهینه وینر با $b = 1/3$ و $b = 1/5$ روی درجات توان طیفی مدل ماهیانه بر حسب ارتفاع ژئوئید متضایر با واحد میلی‌متر مربع برای ماه پنجم از سال ۱۳۸۷ نیز اعمال شده است. نتایج حاصل در شکل ۸، روند کاهشی درجه توان طیفی‌ها را بر طبق قانون تجربی کائولوا بعد از فیلتر کردن نشان می‌دهد. همان‌طور که درجه توان طیفی تصحیح شده با فیلتر گاووسی به شعاع ۴ درجه به فیلتر بهینه وینر با $b = 1/5$ نزدیکتر است، نتایج یکسانی نیز برای این دو فیلتر در نقشه‌های مکانی برای تغییرات ذخیره کلی آب حاصل شده است. نقشه مربوط به فیلتر وینر با $b = 1/3$ نتایج نه چندان نرمی را در مقایسه با فیلترهای گاووسی و وینر با $b = 1/5$ ، نشان می‌دهد.

از سوی دیگر، وزن‌های به دست آمده از فیلتر گاووسی به شعاع ۴ درجه و فیلتر وینر با $b = 1/5$ روی تغییرات کلی سطح آب از ۱۳۸۲ تا ۱۳۸۷ یعنی روز ۵۵ ماه از مدل‌های ماهیانه جاذبی استوکس، اعمال، و متوسط تغییرات کلی سطح آب در طول این سال‌ها محاسبه شده است. سپس، خروجی حاصل از این دو فیلتر با نمودار تغییرات سطح آب حاصل از ترکیب مدل GLDAS یعنی

تغییراتی که GRACE از آب‌های زیرزمینی در اختیار قرار می‌دهد تغییراتی کلی و ماهانه در سطح ایران است و نه اینکه تغییرات مربوط به سطح آب را در هر آبخوان به طور محلی نشان دهد. بنابراین، برای اینکه بتوان تغییرات ماهانه سطح آب‌های زیرزمینی حاصل از آبخوان‌های پراکنده در سطح ایران را متناظر با تغییرات کلی سطح آب‌های زیرزمینی حاصل از GRACE دانست، بایستی ضریبی را به تغییرات حاصل از مشاهدات زمینی یعنی عمق سطح آب حاصل از چاههای مشاهدهای ضرب کرد (سونسن و همکاران، ۲۰۰۶). به دست آوردن این ضریب کاری کاملاً هیدرولوژیکی است و به پارامترهای متفاوتی چون شرایط آب و هوایی، میزان بارندگی، نوع پوشش گیاهی منطقه و مانند آن بستگی دارد. نحوه به دست آوردن این ضریب در منطقه Illinois امریکا در مقاله یه و همکاران (۱۹۹۸) شرح داده شده است. این ضریب هرساله در کشور امریکا برای مناطق گوناگون آن از سوی موسسه USGS منتشر می‌شود که از ۰/۰۲ تا ۰/۳۲ متفاوت است و چنانچه به جای فقط ضرب کردن یک ضریب به همه آبخوان‌ها، بتوان ضریب مناسب و مخصوص به هر آبخوان را تهیه کرد، دقت کار بیشتر نیز خواهد شد (رودل و همکاران، ۲۰۰۷).

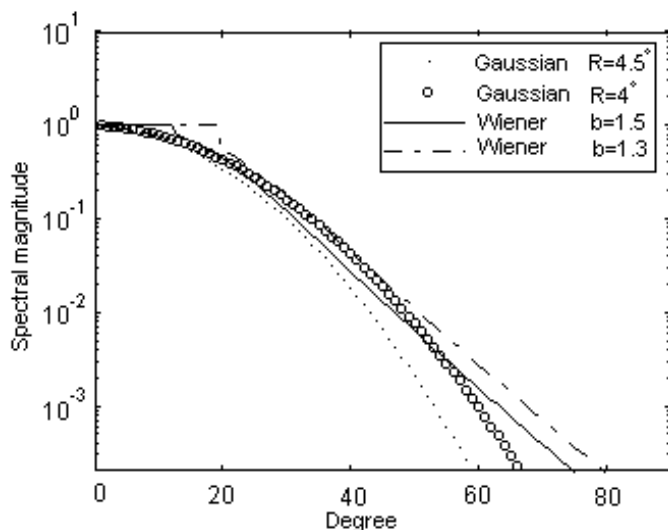
۶ ارزیابی نتایج

با برآورد نمودن $\sigma_{s,l}^2$ درجه توان طیفی سیگنال و درجه توان طیفی نوفه و جایگذاری آن در رابطه (۱۴) ضرایب وزن مربوط به فیلتر بهینه وینر در فضای بسامد محاسبه می‌شوند. هسته‌های مربوط به فیلتر وینر برای $b = 1/3$ و $b = 1/5$ با $b = 1/4$ را می‌توان در شکل ۶ دید. برای مقایسه نمودن وزن‌های این فیلتر، هسته مربوط به فیلتر گاووسی به شعاع‌های ۴ درجه (معادل با ۴۵۶ کیلومتر) و ۴/۵ درجه (معادل با ۵۱۳ کیلومتر)، نیز در

۲۴/۶۱ میلی‌متر به دست آمده است؛ در این حالت، دقت فیلتر گاوسی بیشتر از فیلتر وینر است.

میانگین اختلاف‌ها و انحراف معیارهای خروجی فیلتر وینر با در نظر گرفتن $b = 1/3$ برای $l < 21$ و $b = 1/5$ برای $l > 21$ و فیلتر گاوسی به شعاع‌های ۴ و $4/5$ درجه را با نمودار حاصل از ترکیب مدل GLDAS و چاههای پیزومتری، در جدول ۱ قرار داده شده است. با توجه به این جدول، دقت فیلتر وینر برای $l < 14$ و با در نظر گرفتن $b = 1/5$ برای مدل کردن سیگنال، کمی بیشتر از $21 < l$ به دست آمده است در حالی که دقت هیچ‌کدام از حالت‌های فیلتر وینر از فیلتر گاوسی، بهتر نشده‌اند.

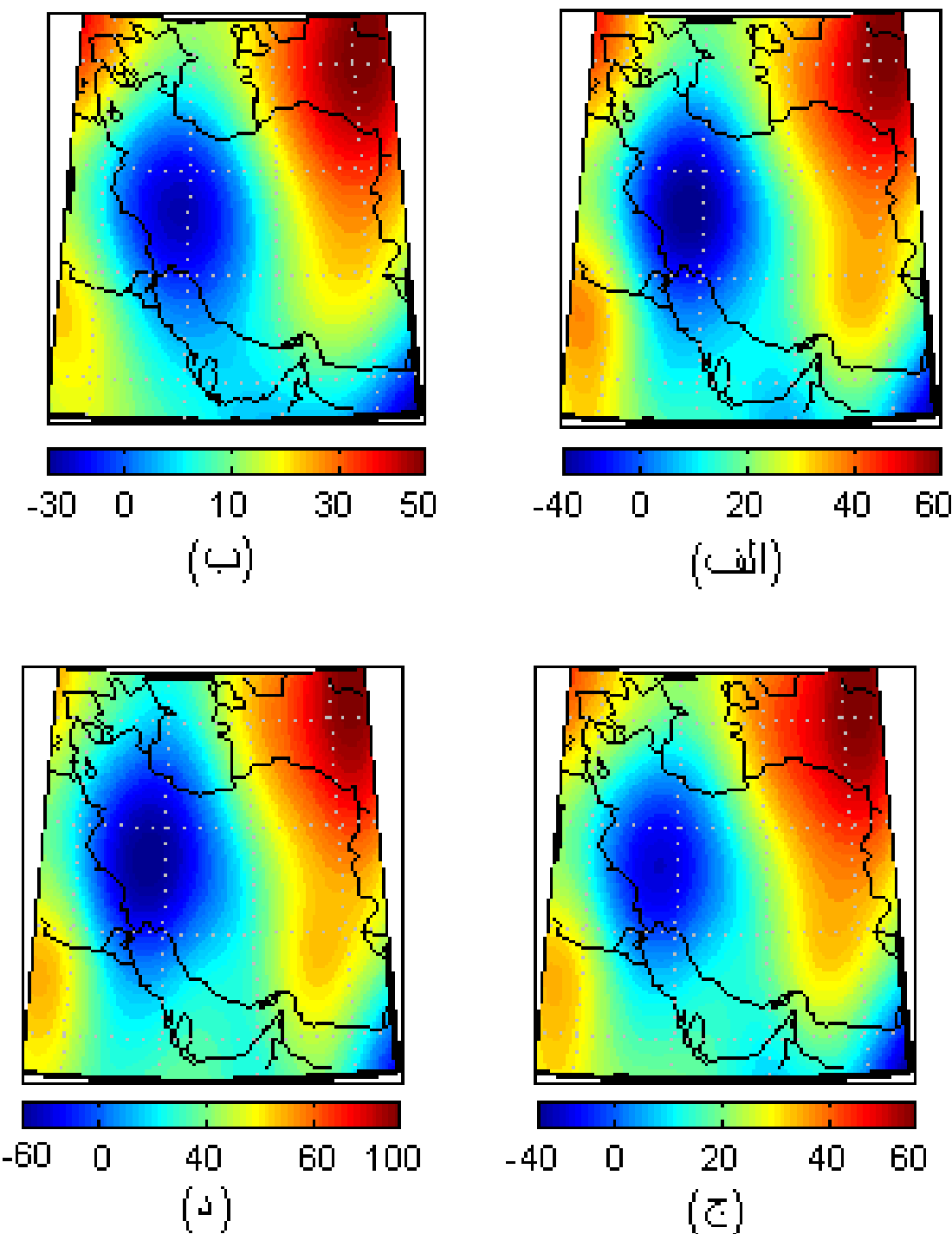
تغییرات پوشش برف به علاوه رطوبت خاک به همراه تغییرات سطح آب‌های زیرزمینی حاصل از داده‌های چاههای پیزومتری در سطح ایران و در همان بازه زمانی با یکدیگر مقایسه شده‌اند (دل آرام، ۲۰۰۷)؛ این نمودارها در شکل ۶ دیده می‌شوند. میانگین اختلاف‌های تغییرات کلی آب برآمده در منطقه ایران بعد از اعمال فیلتر وینر با $b = 1/5$ روی داده‌های GRACE با تغییرات کلی سطح آب حاصل از ترکیب مدل GLDAS و چاههای پیزومتری به اندازه ۹/۱۵ میلی‌متر با انحراف معیار ۲۵/۷۷ میلی‌متر است و میانگین اختلاف‌های خروجی فیلتر گاوسی به شعاع ۴ درجه با نمودار حاصل از ترکیب مدل GLDAS و چاههای پیزومتری به اندازه ۶/۶۱ میلی‌متر با انحراف معیار



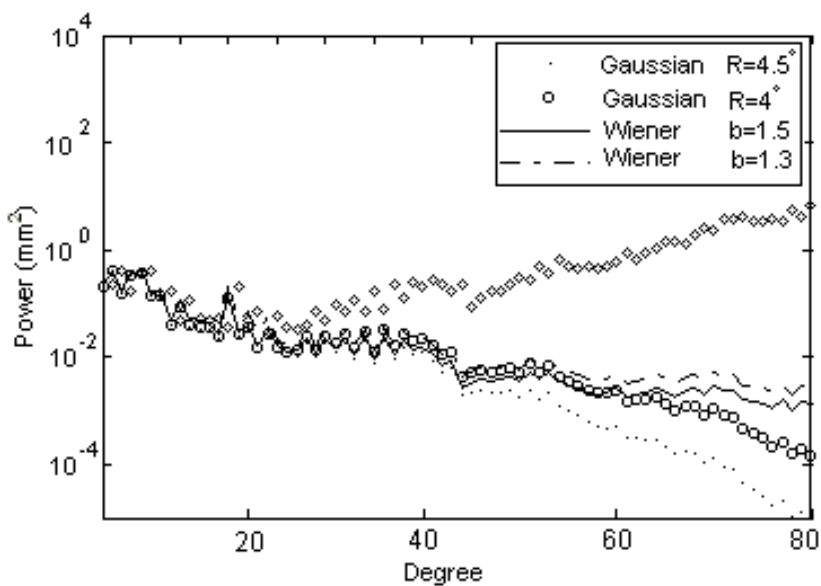
شکل ۶. ضرایب وزن فیلتر وینر و گاوسی در فضای طیفی-نمایش در مقیاس لگاریتمی.

جدول ۱. مقایسه میانگین و انحراف معیار اختلاف‌های میان متوسط تغییرات کلی ذخیره آب برآمده از GRACE بعد از اعمال فیلترهای وینر و گاوسی با متوسط تغییرات کلی ذخیره آب برآمده از ترکیب مدل GLDAS و چاههای پیزومتری (میلی‌متر) - در منطقه ایران - از سال ۱۳۸۲ تا ۱۳۸۷.

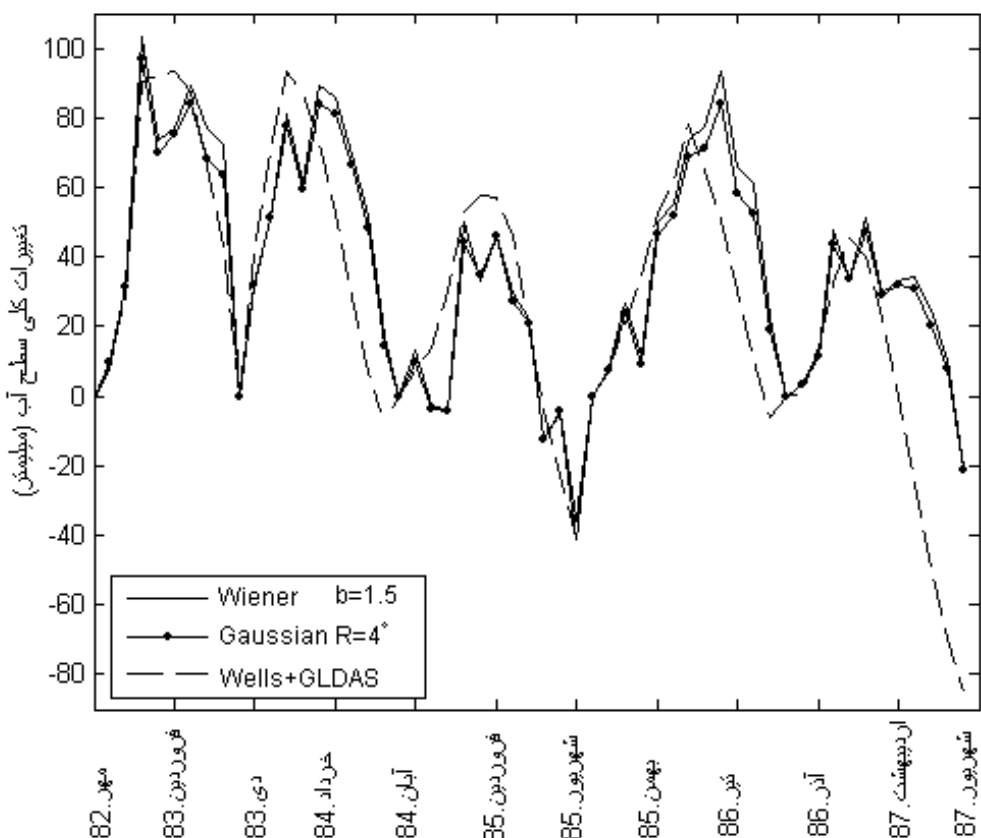
انحراف معیار	میانگین	حالت	نوع فیلترگیری
۲۴/۶۱	۶/۶۱	-	گاوسی به شعاع ۴ درجه
۲۳/۸۹	۶/۱۱	-	گاوسی به شعاع $4/5$ درجه
۲۶/۵۲	۸/۲۷	$l < 21$	وینر با $b = 1/3$
۲۵/۷۷	۹/۱۵	$l < 14$	وینر با $b = 1/5$



شکل ۷. تغییرات کلی سطح آب بر حسب میلی متر پس از اعمال فیلترهای وینر و گاوسی روی ماه پنجم از سال ۱۳۸۷: (الف) فیلتر گاوسی به شعاع ۴ درجه $b = 1/5$ کیلومتر، (ب) فیلتر گاوسی به شعاع $4/5$ درجه (۵۱۳ کیلومتر)، (ج) فیلتر وینر با در نظر گرفتن $b = 1/5$ و (د) فیلتر وینر با در نظر گرفتن $b = 1/3$



شکل ۸. اعمال ضرایب وزن فیلتر بهینه وینر و گاوسی روی توان طیفی مدل ماهیانه برحسب ارتفاع ژئوپید برای ماه پنجم از سال ۱۳۸۷ (مراجعهای توثیقی).



شکل ۹. مقایسه متوسط تغیرات کلی ذخیره آب برآمده از GRACE بعد از اعمال فیلتر وینر با $b = 1/5$ و گاوسی به شعاع 4° درجه با متوسط تغیرات کلی ذخیره آب برآمده از ترکیب مدل GLDAS و چاههای پیزومتری در منطقه ایران.

$c = -2/40$ و $d = 0/05$ با استفاده از سرشکنی کمترین مربعات، برای مدل کردن نوافه‌ها برای $l > 29$ ، برآورد شده است.

با توجه به شکل هسته‌های فیلتر وینر و گاووسی، می‌توان گفت که به طور کلی، فیلتر بهینه وینر، فیلتر پایین گذاری است که شباهت زیادی به فیلتر گاووسی دارد. هسته فیلتر گاووسی به شاعع ۴ درجه به هر دو هسته فیلتر بهینه وینر با $b = 1/3$ و $b = 1/5$ شباهت دارد و همچنین، هسته فیلتر گاووسی به شاعع ۴/۵ درجه تقریباً به هسته فیلتر بهینه وینر با $b = 1/5$ نزدیک‌تر است.

وزن‌های مربوط به فیلتر گاووسی به شاعع‌های ۴ و ۴/۵ درجه و فیلتر بهینه وینر با $b = 1/3$ و $b = 1/5$ روى درجات توان طیفی مدل ماهیانه بر حسب ارتفاع ژئوئید متناظر با واحد میلی‌متر مربع برای ماه پنجم از سال ۱۳۸۷ نیز اعمال شده است. نتایج حاصل، روند کاهشی درجه توان طیفی‌ها را بر طبق قانون تجربی کائولا بعد از فیلتر کردن نشان می‌دهد. در ضمن، همان‌طور که درجه توان طیفی تصحیح شده با فیلتر گاووسی به شاعع ۴ درجه به فیلتر بهینه وینر با $b = 1/5$ نزدیک‌تر است، نتایج یکسانی نیز برای این دو فیلتر در نقشه‌های مکانی برای تغییرات ذخیره کلی آب (تغییراتی میان ۴۰-تا ۶۰ میلی‌متر) حاصل شده است. نقشه مربوط به فیلتر وینر با $b = 1/3$ نتایج نه‌چندان نرمی را در مقایسه با فیلترهای گاووسی و وینر با $b = 1/5$ نشان می‌دهد.

در پایان، متوسط تغییرات کلی سطح آب از سال ۱۳۸۷ تا ۱۳۸۲ در منطقه ایران با استفاده از داده‌های GRACE بعد از اعمال فیلترهای وینر با $b = 1/3$ برای $l < 21$ ، $b = 1/5$ برای $21 \leq l < 14$ و فیلتر گاووسی به شاعع‌های ۴ و ۴/۵ درجه، محاسبه شده است. نتایج حاصل در مقایسه با تغییرات کلی سطح آب برآمده از ترکیب مدل جهانی هیدرولوژی GLDAS و چاههای مشاهده‌ای، نشان می‌دهد که دقت فیلتر وینر برای $14 \leq l < 7$ و با در نظر

۷ نتیجه‌گیری

در این مقاله فیلتر یک‌رونده گاووسی با رابطه بازگشتی جکلی، در حکم یکی از فیلترهایی که کیفیت مناسب آنها به مقدار شعاع میانگین گیری در آنها بستگی دارد، استفاده شده است. این فیلتر کوشش می‌کند تا از طریق کاهش قدرت تفکیک مکانی در داده‌ها از یکسو و افزایش قدرت تفکیک مکانی با برآورد و تصحیح خطای داده‌ها از سوی دیگر، نوافه‌های موجود در داده را کاهش دهد. فیلتر گاووسی در این مقاله به شاعع‌های ۴ و ۴/۵ درجه روی داده‌های ماهیانه جاذبی GRACE اعمال شده است. همچنین، فیلتر بهینه و یک‌رونده وینر روی کره در حکم یکی از فیلترهایی که با داشتن مجموعه‌ای از اطلاعات اضافی مانند مدل‌های ژئوفیزیکی، میزان خطای موجود در سیگنال را مدنظر قرار می‌دهد و بهترین تصمیم را در مورد جداسازی سیگنال و نوافه عملی می‌سازد، روی داده‌های ماهیانه جاذبی GRACE به کار رفته است. به کار بردن فیلتر وینر، نیازی به تعیین شعاع میانگین گیری از پیش ندارد، در حالی که فرضیات لازم به منظور تعیین درجه توانی سیگنال جاذبی مطلوب و نوافه موجود در داده، باقیستی از پیش صورت گیرد. همان‌طور که روشن شد، درجه توان طیفی سیگنال با توجه به قانون دوم کائولا یعنی $l^b / 10^a$ که به طور تجربی از بررسی تغییرات بسامدی ضرایب هماهنگ در زمان‌های متفاوت به دست آمده است و با افزایش درجه l ، کاهش پیدا می‌کند، مدل شده است. با در نظر گرفتن $l < 21$ مقدارهای $a = 0/4$ و $b = 1/3$ و $l < 14$ مقدار $a = 0/5$ و $b = 1/5$ با استفاده از سرشکنی کمترین مربعات، برای برآورد کردن توان‌های طیفی سیگنال، برآورد شده‌اند. همچنین، با توجه به روند افزایشی و خطی که متوسط توان‌های طیفی مربوط به خطاهای GRACE نشان می‌دهند، توان طیفی نوافه‌ها با یک تابع خطی در مقیاس لگاریتمی به طوری که با افزایش درجه، افزایش می‌یابد، مدل شده است و مقادیر

- Koch, K., 2005, Determining the maximum degree of harmonic coefficients in geopotential models by Monte Carlo methods: *Studia Geophysica et Geodaetica*, **49**, 259-275.
- Rodell, M., Chen, J., Kato, H., S.Famiglietti, J., Nigro, J., and R.Wilson, C., 2007, Estimating groundwater storage changes in the Mississippi river basin (USA) using GRACE: *Hydrology Journal*, **15**, 159-166.
- Sasgen, I., Martinec, Z., and Fleming, K., 2006, Wiener optimal filtering of GRACE data: *Studia Geophysica et Geodaetica*, **50**, 499-508.
- Schmidt, R., Schwintzer, P., Flechtner, F., Reigber, C., Gunter, A., Doll, P., Ramillien, G., Cazenave, A., Petrovic, S., Jochmann, and H., Wunsch, J., 2006, GRACE observations of change in continental water storage: *Global and Planetary Change*, **50**, 112-126.
- Swenson, S., Yeh, P. J. F., Whar, J., and Famiglietti, J., 2006, A comparison of terrestrial water storage variations from GRACE with in situ measurements from Illinois: *Geophysical Research Letters*, **33**, 1-5.
- Tapely, B., Bettadpur, S., Watkins, M., and Reigber, C., 2004, The gravity recovery and climate experiment: mission overview and early results: American Geophysical Union.
- Vanicek, P., and Krakiwsky, E., 1986, *Geodesy: the concepts*. North-Holland Pub. Co.
- Whar, J., 2006, Time-variable gravity from satellite: Department of Physics and Cooperative Institute for Research in Environmental Sciences. Boulder: University of Colorado.
- Whar, J., and Molenaar, M., 1998, Time variability of the earth's gravity field: hydrological and oceanic effects and their possible detection using GRACE: *Geophysical research*, **103**(30), 205-30,229.
- Whar, J., Swenson, S., Zlotnicki, V., and Velicogna, I., 2004, Time-variable gravity from GRACE: first results: *Geophysical Resaerch Letters*, **31**, 1-4.
- Xiaogong, H., Jianli, C., Yonghong, Z., Cheng, H., and Xinhao, L., 2006, Seasonal water storage change of the Yangtze river basin detected by GRACE. *Science in China: Series D Earth Sciences*, **49**, 483-491.
- Yeh, p. J. F., Irizarry, M., and A. B. Eltahir, E., 1998, Hydroclimatology of Illinois: a comparison of monthly evaporation estimates based on atmospheric water balance and soil water balance: *Geophysical Researh*, **103**, 19823-19837.

گرفتن $b = 1/5$ در مقایسه با $l < 21$ ، کمی بهتر است. در حالی که دقت هیچ کدام از حالت‌های فیلتر وینر از فیلتر گاووسی، بهتر نشده است.

تقدیر و تشکر: از حمایت مالی دانشگاه تهران از این تحقیق در قالب طرح پژوهشی شماره 27859/1/4 قدردانی می‌گردد.

منابع

همتی، ی.، ۱۳۸۷، بررسی وضعیت منابع آب زیرزمینی کشور تا پایان سال آبی ۱۳۸۶-۱۳۸۵: وزارت نیرو، شرکت مدیریت منابع آب ایران، دفتر مطالعات پایه منابع آب، معاونت مطالعات پایه و مدیریت حوضه‌های آبریز.

Abart, C., 2005, Assesment of solution strategies for GRACE gravity field processing: Institute of Navigation and Satellite Geodesy. Graz: Graz University of Technology.

Awange, J., Sharifi, M., Baur, O., Keller, W., Featherstone, W., and Kuhn, M., 2008, GRACE hydrological monitoring of Australia: current limitations and future prospects: *Spatial Science*, **53**, 23-35.

Awange, J., Sharifi, M., Keller, W., and Kuhn, M., 2009, GRACE application to the receding lade Victoria water level and Australian drought. Springer, 387-396.

Delaram, A., 2007, Detection of regional surface water level using GRACE geopotential models and comparison with direct measurement on the Earth: Tehran: K. N.toosi University of technology.

Garcia, V. R., 2002, Local geoid determination from GRACE mission: Department of Civil and Environmental Engineering and Geodetic Science . Columbus: The Ohio State University .

Jekeli, C., 1981, Alternative methods to smooth the earth's gravity field: Civil and Environmental Engineering and Geodetic Science . Ohio: Geodetic and GeoInformation Science.

Klees, R., Revtova, E., Gunter, B., Ditmar, P., Oudman, E., winsemius, H., and Savenije, H. 2008, The design of an optimal filter for monthly GRACE gravity models: *Geophysics*, **175**, 417-432.